

САНКТ-ПЕТЕРБУРГСКИЙ ГОСУДАРСТВЕННЫЙ УНИВЕРСИТЕТ

Коврижных Николай Александрович

**Разработка экономических схем интегрирования
структурно разделённых систем обыкновенных
дифференциальных уравнений**

Образовательная программа «Математическая кибернетика»

Направление подготовки 02.06.01 —

«Компьютерные и информационные науки»

Выпускная квалификационная работа

Научный руководитель:

д. ф.-м. н., проф.

Олемской Игорь Владимирович

Рецензент:

д. т. н., проф.

Голоскоков Дмитрий Петрович

Санкт-Петербург — 2018

Оглавление

	Стр.
Введение	4
Постановка задачи	6
Обзор литературы	7
Глава 1. Структурные методы интегрирования	8
1.1 Классы структурных особенностей систем ОДУ	8
1.1.1 Класс \mathfrak{A}	8
1.1.2 Класс \mathfrak{B}	9
1.1.3 Класс \mathfrak{C}	10
1.1.4 Обзор моделей	11
1.2 Метод интегрирования	12
Глава 2. Схемы шестого порядка класса \mathfrak{B}	16
2.1 Условия порядка	16
2.2 Семейство схем класса \mathfrak{B}	18
2.3 Интегрирование с переменным шагом. Оценка локальной погрешности	18
2.4 Схема $RKB6(4)\{7F\}$	20
Глава 3. Численное исследование моделей	22
3.1 Модель 1: точка либрации L_1	22
3.2 Модель 2: орбита Аренсторфа	23
3.3 Результаты моделирования	24
Выводы	28
Заключение	29
Список литературы	30
Список рисунков	33

	Стр.
Список таблиц	34
Приложение А. Семейство методов шестого порядка класса \mathfrak{B} .	35
Приложение Б. Текст программы ode46b	40

Введение

Системы дифференциальных уравнений являются одним из основных способов математического моделирования. Математическое описание сложных динамических процессов, протекающих в окружающем мире, зачастую приводит к системам, не имеющим аналитического решения. Кроме того, в некоторых задачах (например, в линейных СОДУ большого размера) вывод точного решения может оказаться сопряжён с трудозатратными вычислениями, и получение приближённого решения с некоторой желаемой точностью будет более оправданным. Поэтому численные методы решения систем дифференциальных уравнений всегда будут необходимым инструментом математического моделирования.

В начале XX века немецкий математик Карл Рунге разработал теорию графических численных методов, показав, как с помощью простейших инженерных инструментов на бумаге производить построения, аналогичные сложным математическим операциям вплоть до приближённого интегрирования скалярных дифференциальных уравнений [1]. Развитие вычислительной техники привело к тому, что теория Рунге оказалась не нужна, однако предложенные им идеи привели к созданию явных одношаговых методов Рунге—Кутты, позволявших получать приближённое решение вплоть до четвёртого порядка точности при сравнительно небольших трудозатратах: для точности порядка p требовалось p вычислений правой части СОДУ (p -этапные методы одношаговые методы, $p \leq 4$).

Технологический рывок середины XX века принёс новые возможности ЭВМ и вместе с тем предъявил новые требования к точности численного интегрирования. Безрезультатные годы поиска пятиэтапных методов пятого порядка завершились разработкой теории Джона Бутчера, систематизировавшего процесс нахождения методов Рунге—Кутты. Бутчер показал, что для высоких порядков существуют ограничения («барьеры Бутчера»): при $p \geq 5$ методы p -ого порядка требуют не менее $p + 1$ вычисление правой части СОДУ [2], а при $p \geq 7$ — не менее $p + 2$ [3; 4]. Эти ограничения а также трудоёмкость получения новых методов высокого порядка стали основными аргументами для поиска альтернатив классическим методам типа Рунге—Кутты.

Начиная с 1970-х лет наступает время бурного развития новых методов интегрирования и способов сравнения одних методов с другими. Важными свойствами становятся не только порядок точности, но также возможность автоматического управления длиной шага и устойчивость методов. Эрвин Фельберг одним из первых предложил идею вложенных методов Рунге—Кутты, позволяющих существенно экономить вычисления с помощью автоматического управления длиной шага интегрирования [5]. Благодаря этому методы Рунге—Кутты обрели новую популярность, и вскоре на их основе были созданы схемы Дж. Дорманда и П. Принса [6], одна из которых в качестве функции *ode45* сейчас является основным интегратором среды MATLAB.

Постановка задачи

Барьеры Бутчера являются одним из основных недостатков методов Рунге—Кутты. Способ их преодоления был предложен И. В. Олемским [7]. Он заключается в анализе структуры СОДУ, разбиении переменных на группы и модификации классической схемы Рунге—Кутты. Для многих задач, особенно в области механики, возможно сократить количество вычислений правой части системы, сохранив порядок точности. На основе структурного подхода было построено несколько вложенных схем, превосходящих по своим характеристикам известные аналоги. К примеру, метод пятого порядка точности требует в полтора раза меньше обращений к правой части (4 вместо 6).

Целью работы является построение экономичного метода интегрирования, преодолевающего барьер Бутчера для $p = 6$ (требующего менее семи вычислений правой части СОДУ). Кроме того, метод должен сопровождаться алгоритмом оценки локальной погрешности на шаге. Подтверждение соответствия заявленному порядку производится путём сравнения с уже существующими методами того же порядка на известных моделях.

Обзор литературы

Несмотря на долгую историю, методы Рунге—Кутты по-прежнему привлекают много внимания. Популярна идея разбиения переменных на несколько групп с последующим применением к каждой группе отдельной вычислительной схемы. К примеру, ранние работы были связаны с разбиением жёстких задач на «жёсткую» и «нежёсткую» компоненты и построению явно-неявных методов [8].

Существуют работы, посвящённые разбиению СОДУ на «быстрые» и «медленные» компоненты для лучшего контроля динамических процессов в больших системах [9], а также получению схем с определёнными численными свойствами [10; 11].

Схожие идеи встречаются при решении систем уравнений в частных производных [12]. В работе [13] предложена идея непрерывных расширений структурных методов, дающих приближение к решению на всём интервале интегрирования, и продемонстрировано их применение для интегрирования систем с запаздыванием.

Глава 1. Структурные методы интегрирования

1.1 Классы структурных особенностей систем ОДУ

Исторически первым использованием структуры системы обыкновенных дифференциальных уравнений для построения экономичных схем численного интегрирования можно считать методы Ньюстрёма. В случае системы уравнений второго порядка $y'' = f(x, y, y')$ алгоритм, предложенный Ньюстрёмом, позволяет сократить машинную память, используемую при вычислениях. Однако настоящее преимущество возникает в том случае, когда правая часть не зависит от первой производной y' . Для систем вида

$$y'' = f(x, y) \quad (1.1)$$

удастся сократить также и количество вычислений функции f , которые, как правило, занимают основную часть времени вычислительного процесса. Например, в то время, когда классические методы Рунге—Кутты для достижения пятого порядка точности требуют минимум шести вычислений правой части, метод Ньюстрёма требует только четырёх, что даёт экономию в полтора раза.

Под термином «система ОДУ со структурными особенностями» обычно полагают то, что рассматриваемая система принадлежит к одному из трёх классов \mathfrak{A} , \mathfrak{B} или \mathfrak{C} .

1.1.1 Класс \mathfrak{A}

К классу \mathfrak{A} относятся системы с перекрёстной структурой зависимостей:

$$\begin{cases} y_1' = f_1(x, y_2), \\ y_2' = f_2(x, y_1), \end{cases} \quad (1.2)$$

$$\begin{aligned}
x &\in [X_0, X_k] \subset \mathbb{R}, \\
y_s &: [X_0, X_k] \longrightarrow \mathbb{R}^{r_s}, \quad s = 1, 2, \\
f_1 &: [X_0, X_k] \times \mathbb{R}^{r_2} \longrightarrow \mathbb{R}^{r_1}, \\
f_2 &: [X_0, X_k] \times \mathbb{R}^{r_1} \longrightarrow \mathbb{R}^{r_2}.
\end{aligned}$$

Можно видеть, что этот класс является обобщением систем второго порядка, не зависящих от первой производной. Каждая система вида $y'' = f(x, y)$ с помощью введения обозначений $y_1 = y$, $y_2 = y'$ может быть записана в виде системы первого порядка с перекрёстной системой связей

$$\begin{cases} y'_1 = y_2, \\ y'_2 = f_2(x, y_1). \end{cases} \quad (1.3)$$

Важным качеством при этом является то, что, в отличие от систем второго порядка, две группы переменных могут иметь разную размерность.

1.1.2 Класс \mathfrak{B}

К классу \mathfrak{B} относятся системы со следующей структурой зависимостей:

$$\begin{cases} y'_i = f_i(x, y_1, \dots, y_{i-1}, y_{l+1}, \dots, y_n), & i = 1, 2, \dots, l, \\ y'_j = f_j(x, y_1, \dots, y_{j-1}), & j = l + 1, \dots, n, \end{cases} \quad (1.4)$$

$$\begin{aligned}
\rho &= \sum_{v=1}^n r_v, \quad x \in [X_0, X_k] \subset \mathbb{R}, \quad y_s : [X_0, X_k] \longrightarrow \mathbb{R}^{r_s}, \quad s = 1, \dots, n, \\
f_i &: [X_0, X_k] \times \mathbb{R}^{\rho - \hat{r}^i} \longrightarrow \mathbb{R}^{r_i}, \quad \hat{r}^i = \sum_{v=i}^l r_v, \quad i = 1, 2, \dots, l, \\
f_j &: [X_0, X_k] \times \mathbb{R}^{\rho - \bar{r}^j} \longrightarrow \mathbb{R}^{r_j}, \quad \bar{r}^j = \sum_{v=j}^n r_v, \quad j = l + 1, \dots, n.
\end{aligned}$$

Этот класс является обобщением класса \mathfrak{A} : в системах такого вида неизвестные двух групп могут зависеть не только от противоположной группы, но и от неизвестных своей группы, имеющих меньший индекс.

1.1.3 Класс \mathfrak{C}

Следующее обобщение — класс \mathfrak{C} , к нему относятся системы с т.н. «общей» группой y_0 :

$$\begin{cases} y'_0 = f_0(x, y_0, \dots, y_n), & (1.5) \\ y'_i = f_i(x, y_0, \dots, y_{i-1}, y_{l+1}, \dots, y_n), & i = 1, 2, \dots, l, & (1.6) \\ y'_j = f_j(x, y_0, \dots, y_{j-1}), & j = l + 1, \dots, n, & (1.7) \end{cases}$$

$$\begin{aligned} \rho &= \sum_{\nu=0}^n r_\nu, \quad x \in [X_0, X_k] \subset \mathbb{R}, \quad y_s : [X_0, X_k] \longrightarrow \mathbb{R}^{r_s}, \quad s = 0, \dots, n, \\ f_0 &: [X_0, X_k] \times \mathbb{R}^\rho \longrightarrow \mathbb{R}^{r_0}, \\ f_i &: [X_0, X_k] \times \mathbb{R}^{\rho - \hat{r}^i} \longrightarrow \mathbb{R}^{r_i}, \quad \hat{r}^i = \sum_{\nu=i}^l r_\nu, \quad i = 1, 2, \dots, l, \\ f_j &: [X_0, X_k] \times \mathbb{R}^{\rho - \bar{r}^j} \longrightarrow \mathbb{R}^{r_j}, \quad \bar{r}^j = \sum_{\nu=j}^n r_\nu, \quad j = l + 1, \dots, n. \end{aligned}$$

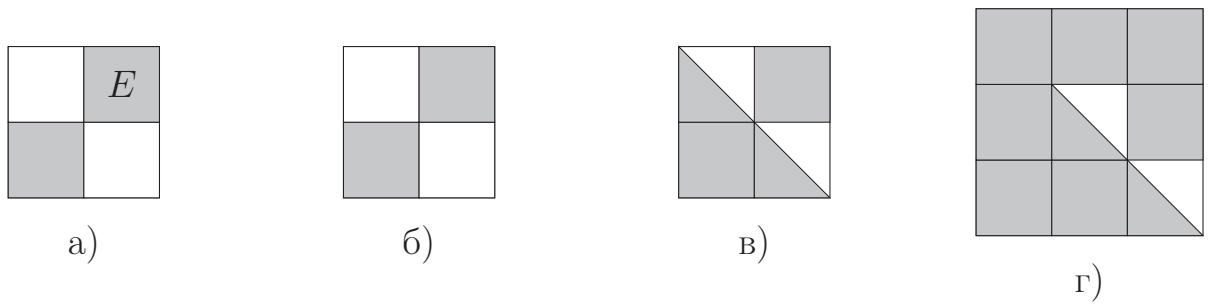
Последовательная вложенность классов \mathfrak{A} , \mathfrak{B} и \mathfrak{C} позволяет использовать одни и те же названия для групп переменных y_k : здесь и далее мы будем называть их нулевой (1.5), первой (1.6) и второй (1.7). В литературе также часто называют нулевую группу общей, а первую и вторую обозначают как i -ю и j -ю.

Нулевая группа — единственная, в которой производная какого-либо параметра системы может зависеть от него самого.

В случаях классов \mathfrak{B} и \mathfrak{C} любая группа может быть вырожденной: например, система вида

$$\begin{cases} y'_0 = f_0(t, y_0, y_1), \\ y'_1 = f_0(t, y_0) \end{cases}$$

принадлежит классу \mathfrak{C} (группа 2 отсутствует).



- а) методы Ньюстрёма (E обозначает единичную матрицу);
 б) класс \mathfrak{A} ; в) класс \mathfrak{B} ; г) класс \mathfrak{C}

Рисунок 1.1 — Структуры допустимых зависимостей в СОДУ

1.1.4 Обзор моделей

Поведение многих математических моделей описывается дифференциальными уравнениями второго порядка вида вида 1.1. Как уже было показано, каждая такая система может быть приведена к перекрёстному виду 1.2 (класс \mathfrak{A}) с помощью введения новых переменных. Существуют также и модели, описываемые системами класса \mathfrak{A} , но не являющиеся системами второго порядка. Примером такой задачи может являться движение неуправляемого космического аппарата (КА) вокруг точек либрации L_1 и L_2 [14].

Более сложные задачи относительного движения нескольких тел также часто могут быть приведены к виду 1.4 (класс \mathfrak{B}). Например:

1. Модель Хилла—Клохесси—Уилтшира: движение объектов в окрестности искусственного спутника Земли [15].
2. Модель Чаунера—Хемпеля: движение двух спутников по эллиптической орбите [16].
3. Модель Швайгарта—Седвика: движение КА в геопотенциальном поле [17].
4. Орбита Аренсторфа: периодическое движение КА в гравитационном поле Земли и Луны [18].

Все эти модели описываются системами второго порядка, однако при соответствующем переопределении переменных (менее очевидном, чем описанное выше для класса \mathfrak{A}) могут быть отнесены к классу \mathfrak{B} . Пример такого переопределения для орбиты Аренсторфа будет рассмотрен ниже при проведении численных экспериментов.

Очевидно также, что любая система ОДУ, описывающая какую-либо модель, может быть представлена как система класса \mathfrak{C} , содержащая лишь нулевую группу. Однако представление системы как имеющей только нулевую группу не принесёт результата по сравнению с классическими методами Рунге—Кутты, поскольку преимущество структурных методов заключается именно в экономии на вычислениях правых частей первой и второй группы.

Многие встречающиеся в реальной жизни системы имеют структуру, не позволяющую сразу выделить первую или вторую группу уравнений, однако с помощью простого переопределения переменных удаётся привести их к необходимому виду. К примеру, если зависимости производных представляют собой двудольный граф, она является системой класса \mathfrak{A} . Существует также алгоритм, позволяющий переопределять параметры системы таким способом, чтобы первая и вторая группа имели максимальный возможный размер [19].

1.2 Метод интегрирования

Метод интегрирования систем класса \mathfrak{C} . Будем считать, что нам известно точное решение $y_s(x)$, $s = 0, \dots, n$, системы 1.5—1.7 в точке $x \in [X_0, X_k]$. Не умаляя общности рассуждений, для простоты вывода будем считать $r_s = 1$, $s = 0, \dots, n$.

Для численного интегрирования систем 1.5—1.7 рассматривается явный одношаговый метод [20]. В предположении достаточной гладкости правой части рассматриваемой системы приближение \tilde{y}_s к точному решению $y_s(x + h)$, $s = 1, \dots, n$ в точке $x + h \in [X_0, X_k]$ ищется в виде:

$$y_0(x + h) \approx \tilde{y}_0(x + h) = y_0(x) + h \sum_{\nu=1}^{m_0} b_{0\nu} k_{0,\nu}(h), \quad (1.8)$$

$$y_i(x + h) \approx \tilde{y}_i(x + h) = y_i(x) + h \sum_{\nu=1}^{m_1} b_{1\nu} k_{i,\nu}(h), \quad i = 1, \dots, l, \quad (1.9)$$

$$y_j(x + h) \approx \tilde{y}_j(x + h) = y_j(x) + h \sum_{\nu=1}^{m_1} b_{2\nu} k_{j,\nu}(h), \quad j = l + 1, \dots, n, \quad (1.10)$$

причём $k_{s,w} \equiv k_{s,w}(h)$ вычисляются в строгой последовательности

$$k_{0,1}, \dots, k_{n,1}, k_{0,2}, \dots, k_{n,2}, k_{0,3}, k_{1,3}, \dots \quad (1.11)$$

по формулам

$$\begin{aligned} k_{0,\nu} = f_0 \left(x + c_{0\nu}h, \right. \\ \left. y_0 + h \sum_{\mu=1}^{\nu-1} a_{00\nu\mu} k_{0,\mu}(h), \right. \\ \left. y_1 + h \sum_{\mu=1}^{\nu-1} a_{01\nu\mu} k_{1,\mu}(h), \dots, y_{i-1} + h \sum_{\mu=1}^{\nu-1} a_{01\nu\mu} k_{l,\mu}(h), \right. \\ \left. y_{l+1} + h \sum_{\mu=1}^{\nu-1} a_{02\nu\mu} k_{l+1,\mu}(h), \dots, y_n + h \sum_{\mu=1}^{\nu-1} a_{02\nu\mu} k_{n,\mu}(h) \right), \end{aligned} \quad (1.12)$$

$$\begin{aligned} k_{i,\nu} = f_i \left(x + c_{1\nu}h, \right. \\ \left. y_0 + h \sum_{\mu=1}^{\nu} a_{10\nu\mu} k_{0,\mu}(h), \right. \\ \left. y_1 + h \sum_{\mu=1}^{\nu} a_{11\nu\mu} k_{1,\mu}(h), \dots, y_{i-1} + h \sum_{\mu=1}^{\nu} a_{11\nu\mu} k_{i-1,\mu}(h), \right. \\ \left. y_{l+1} + h \sum_{\mu=1}^{\nu-1} a_{12\nu\mu} k_{l+1,\mu}(h), \dots, y_n + h \sum_{\mu=1}^{\nu-1} a_{12\nu\mu} k_{n,\mu}(h) \right), \quad i = 1, \dots, l, \end{aligned} \quad (1.13)$$

$$\begin{aligned} k_{j,\nu} = f_j \left(x + c_{2\nu}h, \right. \\ \left. y_0 + h \sum_{\mu=1}^{\nu} a_{20\nu\mu} k_{0,\mu}(h), \right. \\ \left. y_1 + h \sum_{\mu=1}^{\nu} a_{21\nu\mu} k_{1,\mu}(h), \dots, y_{i-1} + h \sum_{\mu=1}^{\nu} a_{21\nu\mu} k_{l,\mu}(h), \right. \\ \left. y_{l+1} + h \sum_{\mu=1}^{\nu} a_{22\nu\mu} k_{l+1,\mu}(h), \dots, y_n + h \sum_{\mu=1}^{\nu} a_{22\nu\mu} k_{j-1,\mu}(h) \right), \quad j = l+1, \dots, n. \end{aligned} \quad (1.14)$$

Параметрами метода являются коэффициенты $a_{w_1 w_2 \nu \mu}$ (матрицы этих коэффициентов будем обозначать как $A_{w_1 w_2}$), $b_{w_1 \nu}$, $c_{w_1 \nu}$, $w_1, w_2 \in \{0, 1, 2\}$. Говорят,

что метод имеет порядок p , если

$$|y_s(x+h) - \tilde{y}_s| \approx O(h^{p+1}), \quad s = 0, \dots, n.$$

Строгий порядок вычисления значений k связывает количество этапов по каждой группе: $m_1 \leq m_0 \leq m_1 + 1$. Основная идея структурного подхода заключается в алгоритмическом использовании структурных особенностей математической модели для сокращения числа обращений к правым частям первой и второй групп уравнений, поэтому мы будем считать далее $m = m_0 = m_1 + 1$.

Для того, чтобы метод был явным, необходимо, чтобы матрицы A_{10} , A_{20} , A_{11} , A_{21} и A_{22} были *нижнетреугольными*, а матрицы A_{00} , A_{01} , A_{02} и A_{12} — *строго нижнетреугольными*. В этом случае к моменту вычисления каждого из выражений 1.12–1.14 аргументы в их правых частях будут уже известны. В табл. 1 приведён компактный общий вид коэффициентов явного метода при $m = m_0 = m_1 + 1$ (для удобства индексы отделены запятыми). Дополнительное требование $a_{1111} = a_{1011} = 0$ обусловлено часто используемым предположением $c_{w_1 v} = \sum_{\mu} a_{w_1 w_2 v \mu}$, $w_1, w_2 \in \{0, 1, 2\}$ и тем, что $a_{1211} = 0$.

Замечание 1. В случае, когда система состоит только из нулевой группы, метод вырождается в классический метод Рунге–Кутты с коэффициентами $A = A_{00}$, $b = b_0$, $c = c_0$ и количеством этапов $s = m_0$:

$$y(x+h) \approx \tilde{y}(x+h) = y(x) + h \sum_{v=1}^s b_v k_v(h), \quad (1.15)$$

$$k_v = f \left(x + c_v h, y + h \sum_{\mu=1}^s a_{v\mu} k_{\mu}(h) \right),$$

Замечание 2. В силу того, что системы класса \mathfrak{B} отличаются от систем класса \mathfrak{C} лишь отсутствием нулевой группы, рассмотренный метод можно применить и к ним, просто исключив из всех формул параметры с индексом 0. То же касается и систем класса \mathfrak{A} : достаточно вдобавок исключить все параметры, использующие зависимости внутри первой группы и внутри второй. Табличные записи коэффициентов для обеих схем будут содержать коэффициенты b_{1v} , b_{2v} , c_{1v} , c_{2v} , $a_{12v\mu}$, $a_{21v\mu}$, а для схемы класса \mathfrak{B} дополнительно $a_{11v\mu}$ и $a_{22v\mu}$. Требования к треугольности матриц для явных методов останутся теми же.

Таблица 1 — Коэффициенты явного метода класса \mathfrak{E} при $m = m_0 = m_1 + 1$

$c_{0,\nu}$	$a_{0,0,\nu,\mu}$				$a_{0,1,\nu,\mu}$				$a_{0,2,\nu,\mu}$				$b_{0,\nu}$
0	0	0	...	0	0	0	...	0	0	0	...	0	$b_{0,1}$
$c_{0,2}$	$a_{0,0,2,1}$	0	...	0	$a_{0,1,2,1}$	0	...	0	$a_{0,2,2,1}$	0	...	0	$b_{0,2}$
\vdots	\vdots	\vdots	\ddots	\vdots	\vdots	\vdots	\ddots	\vdots	\vdots	\vdots	\ddots	\vdots	\vdots
$c_{0,m-1}$	$a_{0,0,m-1,1}$	$a_{0,0,m-1,2}$...	0	$a_{0,1,m-1,1}$	$a_{0,1,m-1,2}$...	0	$a_{0,2,m-1,1}$	$a_{0,2,m-1,2}$...	0	$b_{0,m-1}$
$c_{0,m}$	$a_{0,0,m,1}$	$a_{0,0,m,2}$...	$a_{0,0,m,m-1}$	$a_{0,1,m,1}$	$a_{0,1,m,2}$...	$a_{0,1,m,m-1}$	$a_{0,2,m,1}$	$a_{0,2,m,2}$...	$a_{0,2,m,m-1}$	$b_{0,m}$
$c_{1,\nu}$	$a_{1,0,\nu,\mu}$				$a_{1,1,\nu,\mu}$				$a_{1,2,\nu,\mu}$				$b_{1,\nu}$
0	0	0	...	0	0	0	...	0	0	0	...	0	$b_{1,1}$
$c_{1,2}$	$a_{1,0,2,1}$	$a_{1,0,2,2}$...	0	$a_{1,1,2,1}$	$a_{1,1,2,2}$...	0	$a_{1,2,2,1}$	0	...	0	$b_{1,2}$
\vdots	\vdots	\vdots	\ddots	\vdots	\vdots	\vdots	\ddots	\vdots	\vdots	\vdots	\ddots	\vdots	\vdots
$c_{1,m-2}$	$a_{1,0,m-2,1}$	$a_{1,0,m-2,2}$...	0	$a_{1,1,m-2,1}$	$a_{1,1,m-2,2}$...	0	$a_{1,2,m-2,1}$	$a_{1,2,m-2,2}$...	0	$b_{1,m-2}$
$c_{1,m-1}$	$a_{1,0,m-1,1}$	$a_{1,0,m-1,2}$...	$a_{1,0,m-1,m-1}$	$a_{1,1,m-1,1}$	$a_{1,1,m-1,2}$...	$a_{1,1,m-1,m-1}$	$a_{1,2,m-1,1}$	$a_{1,2,m-1,2}$...	0	$b_{1,m-1}$
$c_{2,\nu}$	$a_{2,0,\nu,\mu}$				$a_{2,1,\nu,\mu}$				$a_{2,2,\nu,\mu}$				$b_{2,\nu}$
$c_{2,1}$	$a_{2,0,1,1}$	0	...	0	$a_{2,1,1,1}$	0	...	0	$a_{2,2,1,1}$	0	...	0	$b_{2,1}$
$c_{2,2}$	$a_{2,0,2,1}$	$a_{2,0,2,2}$...	0	$a_{2,1,2,1}$	$a_{2,1,2,2}$...	0	$a_{2,2,2,1}$	$a_{2,2,2,2}$...	0	$b_{2,2}$
\vdots	\vdots	\vdots	\ddots	\vdots	\vdots	\vdots	\ddots	\vdots	\vdots	\vdots	\ddots	\vdots	\vdots
$c_{2,m-2}$	$a_{2,0,m-2,1}$	$a_{2,0,m-2,2}$...	0	$a_{2,1,m-2,1}$	$a_{2,1,m-2,2}$...	0	$a_{2,2,m-2,1}$	$a_{2,2,m-2,2}$...	0	$b_{2,m-2}$
$c_{2,m-1}$	$a_{2,0,m-1,1}$	$a_{2,0,m-1,2}$...	$a_{2,0,m-1,m-1}$	$a_{2,1,m-1,1}$	$a_{2,1,m-1,2}$...	$a_{2,1,m-1,m-1}$	$a_{2,2,m-1,1}$	$a_{2,2,m-1,2}$...	$a_{2,2,m-1,m-1}$	$b_{2,m-1}$

Глава 2. Схемы шестого порядка класса \mathfrak{B}

2.1 Условия порядка

Коэффициенты схемы интегрирования типа Рунге—Кутты должны удовлетворять системе условий порядка. Эти условия представляют собой алгебраические уравнения, получающиеся при приравнении соответствующих членов ряда Тейлора точного y и приближённого \tilde{y} решений вплоть до p -го, где p — порядок метода. Размеры системы условий порядка для классических и структурных методов типа Рунге—Кутты приведены в таблице 2.


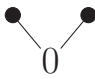

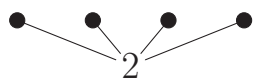
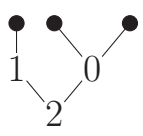
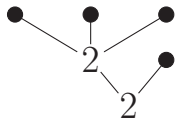
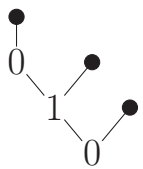
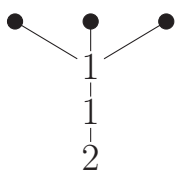
Таблица 2 — Размеры системы условий порядка

класс метода	количество условий порядка					
RK	1	2	4	8	17	37
\mathfrak{A}	2	4	8	16	34	74
\mathfrak{B}	2	4	10	28	88	292
\mathfrak{C}	3	6	18	66	276	1224
порядок метода	1	2	3	4	5	6

Быстрый рост количества уравнений с ростом порядка вынуждает автоматизировать процесс их получения. Джон Бутчер развил теорию *помеченных деревьев*, с помощью которой можно однозначно сопоставить каждый элементарный дифференциал Φ некоему древовидному графу $\tau(\Phi)$. В классической теории для получения полного набора условий требуется выписать все помеченные деревья порядка не выше p (*порядком дерева* называется количество его вершин) и соответствующие им уравнения. Примеры соответствия деревьев и уравнений приведены в таблице 3.

В работе [21] предложена модификация этой теории, предназначенная для методов класса \mathfrak{C} и представлены условия порядка до пятого включительно. В случае структурных методов класса \mathfrak{C} помимо получения полного набора деревьев необходимо сопоставить индекс 0, 1 или 2 каждой вершине, имеющей потомков. Большим количеством возможных расстановок индексов и объясняется возрастание размера системы при переходе к структурным методам.

Таблица 3 — Примеры построения условий порядка

τ	$\gamma(\tau)$	условие порядка
0	1	$\sum_{\nu} b_{0\nu} = 1$
	2	$\sum_{\nu} b_{1\nu} c_{1\nu} = \frac{1}{2}$
	3	$\sum_{\nu} b_{0\nu} c_{0\nu}^2 = \frac{1}{3}$
	6	$\sum_{\nu} b_{1\nu} \sum_{\mu} a_{11\nu\mu} c_{1\mu} = \frac{1}{6}$
	5	$\sum_{\nu} b_{2\nu} c_{2\nu}^4 = \frac{1}{5}$
	36	$\sum_{\nu} b_{2\nu} (\sum_{\mu} a_{20\nu\mu} c_{0\mu}^2) \cdot (\sum_{\mu} a_{21\nu\mu} c_{1\mu}) = \frac{1}{36}$
	24	$\sum_{\nu} b_{2\nu} c_{2\nu}^1 \sum_{\mu} a_{22\nu\mu} c_{2\mu}^3 = \frac{1}{24}$
	48	$\sum_{\nu} b_{0\nu} c_{0\nu} \sum_{\mu} a_{01\nu\mu} c_{1\mu} \sum_{\xi} a_{10\mu\xi} c_{0\xi} = \frac{1}{48}$
	120	$\sum_{\nu} b_{2\nu} \sum_{\mu} a_{21\nu\mu} \sum_{\xi} a_{11\mu\xi} c_{1\xi}^3 = \frac{1}{120}$

Отметим, что систему условий для методов класса \mathfrak{B} того же порядка можно получить из неё, отбросив все уравнения, соответствующие деревьям, содержащим вершины с индексом 0 (поскольку используются только индексы 1 и 2).

Аналогично, систему условий порядка для методов класса \mathfrak{A} можно получить из последней отбрасыванием деревьев, имеющих рёбра вида 1 – 1 и 2 – 2. Таким образом останутся только те деревья, рёбра которых соединяют вершины с разными индексами.

2.2 Семейство схем класса \mathfrak{B}

Система условий шестого порядка для методов класса \mathfrak{B} состоит из 292 алгебраических уравнений. Было получено семипараметрическое семейство решений этой системы со свободными параметрами $c_{12} = \alpha_1$ $c_{13} = \alpha_2$ $c_{14} = \alpha_3$ $c_{23} = \alpha_4$ $c_{24} = \alpha_5$ $a_{1132} = \alpha_6$ и $a_{2243} = \alpha_7$. В [прил. А](#) представлены значения ненулевых параметров метода.

2.3 Интегрирование с переменным шагом. Оценка локальной погрешности

Регулирование длины шага интегрирования является основным инструментом при численном решении задачи Коши. Малая длина шага, как правило, даёт большую точность, однако приводит и к большим вычислительным затратам. Неоправданно высокие вычислительные затраты в свою очередь могут привести к тому, что основной составляющей глобальной погрешности станет накопившаяся ошибка округления.

Кроме того, во многих моделях интервал интегрирования можно разделить на «быстрые» и «медленные» участки: в первом случае переменные меняются «быстро», и для удержания локальной погрешности в заданных рамках приходится делать малые шаги, во втором — «медленно», и можно увеличить длину шага, чтобы ускорить вычислительный процесс.

Вложенные методы. Обозначим результат применения метода Рунге—Кутты 1.15 на одном шаге длины h как

$$\tilde{y} = RK(x_0, y_0, f, A, b, h), \quad (2.1)$$

где y_0 и f — параметры задачи Коши, A и b — коэффициенты конкретной схемы Рунге—Кутты, h — длина шага интегрирования.

Главный параметр, в соответствии с которым изменяют длину шага — это локальная погрешность, которая на каждом шаге не должна превышать некоей заданной величины tol . Э. Фельберг предложил оценивать локальную погрешность, вычисляя одновременно два приближения: $\tilde{y}_1 = RK(x_0, y_0, f, A, b, h)$ порядка p и $\tilde{y}_2 = RK(x_0, y_0, f, A, d, h)$ порядка $q < p$, то есть с помощью двух схем Рунге—Кутты, отличающихся лишь весовыми коэффициентами b и d . Главные члены локальных погрешностей для этих приближений будут соответственно равны $\Delta_1 = C_1 h^{p+1}$ и $\Delta_2 = C_2 h^{q+1}$, где C_1 и C_2 — некоторые скаляры.

Матрицы коэффициентов A для обеих схем одинаковы, поэтому оба приближения можно получить, не затрачивая лишнее время на вычисления правых частей СОДУ. Подобные пары получили название *вложенных методов*. Поскольку \tilde{y}_1 имеет больший порядок, главный член их разности $\Delta = \tilde{y}_1 - \tilde{y}_2$ будет равен $C_2 h^{q+1}$ и может быть использован в качестве оценки локальной погрешности приближённого решения \tilde{y}_2 . В дальнейших работах (Дорманд, Принс) в качестве приближения стали использовать \tilde{y}_1 , поскольку его порядок выше, а величина Δ приобрела значение уже не оценки локальной погрешности, а некоего контрольного члена, применяемого для регулирования длины шага.

Другим отличительным свойством вложенных методов типа Дорманда—Принса является их свойство **FSAL** (First Same As Last). s -этапную схему интегрирования дополняют ещё одним этапом $k_{s+1} = f(x + h, y_0 + h \sum_{\mu=1}^s b_{\mu} k_{\mu}(h))$. Фактически k_{s+1} совпадает с результатом первого вычисления правой части, которое будет сделано на следующем шаге. А значит, на всех шагах начиная со второго можно по-прежнему совершать s вычислений правой части, и вычислительные затраты почти не растут.

2.4 Схема $RKB6(4)\{7F\}$

На основе решения системы условий порядка, полученного при значениях свободных параметров $\alpha_1 = \frac{2}{9}$, $\alpha_2 = \frac{1}{6}$, $\alpha_3 = \frac{1}{2}$, $\alpha_4 = \frac{1}{6}$, $\alpha_5 = \frac{1}{2}$, $\alpha_6 = 0$, $\alpha_7 = \frac{2}{3}$ построена семиэтапная расчетная схема метода $RKB6(4)\{7F\}$. Это название означает:

- RK — метод типа Рунге—Кутты;
- B — метод класса \mathfrak{B} ;
- 6 — порядок точности приближения на шаге;
- 4 — порядок точности вложенного метода—оценщика;
- 7 — количество используемых значений правой части СОДУ на шаге;
- F — метод обладает свойством FSAL, фактически на каждом шаге начиная со второго требуется только шесть обращений к правой части СОДУ.

Значения параметров были выбраны из двух соображений: минимизация невязки по условиям седьмого порядка (это позволяет уменьшить норму главного члена локальной погрешности [22]) и краткость записи. Коэффициенты метода представлены в таблице 4.

Замечание. Благодаря тому, что все коэффициенты $a_{w_1 w_2 1\mu}$ равны нулю, построенный метод избегает существенного недостатка, которым могут обладать другие вложенные структурные методы со свойством FSAL. В случае, когда среди коэффициентов $a_{w_1 w_2 1\mu}$ есть ненулевые, нельзя утверждать, что в выражениях 1.12—1.14 обращения к правым частям СОДУ на смежных шагах происходят с одинаковыми значениями аргументов. Это приводит к необходимости модифицировать алгоритм адаптивного выбора шага интегрирования [23].

Таблица 4 — Коэффициенты метода $RKB6(4)\{7F\}$

$c_{1\nu}$	$a_{11\nu\mu}$						$a_{12\nu\mu}$						$b_{1\nu}$	$d_{1\nu}$
0													$\frac{7}{150}$	$\frac{13}{200}$
$\frac{2}{9}$	$\frac{1}{9}$	$\frac{1}{9}$					$\frac{2}{9}$						0	0
$\frac{1}{6}$	$\frac{1}{12}$	0	$\frac{1}{12}$				$\frac{5}{48}$	$\frac{1}{16}$					$\frac{27}{100}$	$\frac{183}{800}$
$\frac{1}{2}$	$\frac{-1}{44}$	0	$\frac{9}{22}$	$\frac{5}{44}$			$\frac{37}{176}$	$\frac{243}{176}$	$\frac{-12}{11}$				$\frac{11}{30}$	$\frac{33}{80}$
$\frac{5}{6}$	$\frac{7}{36}$	0	0	$\frac{5}{9}$	$\frac{1}{12}$		$\frac{-635}{432}$	$\frac{-167}{16}$	$\frac{100}{9}$	$\frac{44}{27}$			$\frac{27}{100}$	$\frac{183}{800}$
1	$\frac{-3}{7}$	0	$\frac{9}{8}$	$\frac{-5}{28}$	$\frac{27}{56}$		$\frac{29}{4}$	$\frac{1377}{28}$	$\frac{-1425}{28}$	$\frac{-11}{2}$	$\frac{27}{28}$		$\frac{7}{150}$	$\frac{7}{300}$
1	$\frac{7}{150}$	0	$\frac{27}{100}$	$\frac{11}{30}$	$\frac{27}{100}$	$\frac{7}{150}$	$\frac{7}{150}$	0	$\frac{27}{100}$	$\frac{11}{30}$	$\frac{27}{100}$	$\frac{7}{150}$	0	$\frac{1}{24}$
$c_{2\nu}$	$a_{21\nu\mu}$						$a_{22\nu\mu}$						$b_{2\nu}$	$d_{2\nu}$
0													$\frac{7}{150}$	$\frac{13}{200}$
$\frac{2}{9}$	$\frac{1}{9}$	$\frac{1}{9}$					$\frac{1}{9}$	$\frac{1}{9}$					0	0
$\frac{1}{6}$	$\frac{7}{48}$	$\frac{3}{16}$	$\frac{-1}{6}$				$\frac{7}{48}$	$\frac{3}{16}$	$\frac{-1}{6}$				$\frac{27}{100}$	$\frac{183}{800}$
$\frac{1}{2}$	$\frac{-31}{176}$	$\frac{-81}{176}$	$\frac{45}{44}$	$\frac{5}{44}$			$\frac{-185}{1584}$	$\frac{-123}{880}$	$\frac{2}{3}$	$\frac{89}{990}$			$\frac{11}{30}$	$\frac{33}{80}$
$\frac{5}{6}$	$\frac{73}{144}$	$\frac{15}{16}$	$\frac{-5}{4}$	$\frac{5}{9}$	$\frac{1}{12}$		$\frac{1031}{3888}$	$\frac{-53}{144}$	$\frac{65}{324}$	$\frac{317}{486}$	$\frac{1}{12}$		$\frac{27}{100}$	$\frac{183}{800}$
1	$\frac{-39}{28}$	$\frac{-81}{28}$	$\frac{279}{56}$	$\frac{-5}{28}$	$\frac{27}{56}$		$\frac{-29}{63}$	$\frac{15}{7}$	$\frac{-103}{168}$	$\frac{-139}{252}$	$\frac{27}{56}$		$\frac{7}{150}$	$\frac{7}{300}$
1	$\frac{7}{150}$	0	$\frac{27}{100}$	$\frac{11}{30}$	$\frac{27}{100}$	$\frac{7}{150}$	$\frac{7}{150}$	0	$\frac{27}{100}$	$\frac{11}{30}$	$\frac{27}{100}$	$\frac{7}{150}$	0	$\frac{1}{24}$

Глава 3. Численное исследование моделей

Для проверки качества построенного метода было произведено сравнение с явными одношаговыми методами шестого порядка Цитураса [24], Вернера [25] и Эль-Миккави [26] а также методом Дорманда—Принса пятого порядка [27].

Помимо набора коэффициентов схема интегрирования должна также обладать алгоритмом выбора длины шага. Для объективной оценки качества работы конкретных методов за основу был взят алгоритм из реализации метода Дорманда—Принса в среде MATLAB — функции *ode45*, основного интегратора в этой среде [27]. Таким образом, различия между методами заключались лишь в затратах на вычисления правых частей СОДУ и достигаемой точности на шаге. На основе метода $RKB6(4)\{7F\}$ реализована модификация *ode46b* той же функции, позволяющая обращаться к группам системы независимо. Аналогичная модификация функций MATLAB и их внедрение для методов класса \mathfrak{A} были представлены в работе [28]. Текст программы *ode46b* приведён в прил. Б.

Интерфейс функции *ode46b* аналогичен интерфейсу *ode45*. Дополнительно от функции вычисления значений правой части СОДУ (аргумент под именем *ode*) требуется возможность вернуть информацию о структуре СОДУ (количество уравнений первой и второй групп) и выдавать значение правой части для конкретных уравнений СОДУ.

Для исследования были выбраны модели, описывающие движение космического аппарата в окрестности точки либрации L_1 системы Солнце—Земля и движение КА по орбите Аренсторфа.

3.1 Модель 1: точка либрации L_1

Плоское движение неуправляемого КА во вращающейся системе координат в окрестности точки либрации $L_1 = (1,1)$ системы Солнце—Земля

описывается [14] системой обыкновенных дифференциальных уравнений:

$$\begin{cases} \dot{x}_1 = x_2 + y_1, \\ \dot{x}_2 = -x_1 + y_2, \\ \dot{y}_1 = 8(x_1 - 1) + (y_2 - 1), \\ \dot{y}_2 = -4x_2 - y_1. \end{cases} \quad (3.1)$$

При начальных условиях

$$\begin{aligned} x(0) &= \left(1 + \frac{\sqrt{7} - 3}{2}\varepsilon, 0\right), \\ y(0) &= (0, 1 + \varepsilon) \end{aligned}$$

КА движется по периодической орбите вокруг L_1 . При переопределении параметров: $\tilde{x}_1 = x_1, \tilde{x}_2 = y_2, \tilde{x}_3 = x_2, \tilde{x}_4 = y_1$ СОДУ приобретает перекрестную структуру. Для тестирования было выбрано значение $\varepsilon = \frac{1}{100}$.

Поскольку полученная система является линейной, существует возможность на каждом шаге сравнивать численное решение с точным.

3.2 Модель 2: орбита Арнсторфа

Плоское движение космического аппарата с координатами (x_1, x_2) в гравитационном поле, создаваемом Землей $(0,0)$ и Луной $(1,0)$ описывается [18] системой обыкновенных дифференциальных уравнений:

$$\begin{cases} \ddot{x}_1 = x_1 + 2\dot{x}_2 - \mu' \frac{x_1 + \mu}{D_1} - \mu \frac{x_1 - \mu'}{D_2}, \\ \ddot{x}_2 = x_2 - 2\dot{x}_1 - \mu' \frac{x_2}{D_1} - \mu \frac{x_2}{D_2}, \end{cases} \quad (3.2)$$

где

$$\begin{aligned} D_1 &= \left((x_1 + \mu)^2 + x_2^2\right)^{3/2}, \quad D_2 = \left((x_1 - \mu')^2 + x_2^2\right)^{3/2}, \\ \mu &= 0.012277471, \quad \mu' = 1 - \mu. \end{aligned}$$

При начальных условиях

$$\begin{aligned} x(0) &= (0.994, 0), \\ \dot{x}(0) &= (0, 2.00158510637908252240537862224) \end{aligned}$$

КА движется по орбите с периодом $T_{per} = 17.0652165601579625588917206249$. При переопределении параметров: $\tilde{x}_1 = x_1, \tilde{x}_2 = \dot{x}_2, \tilde{x}_3 = x_2, \tilde{x}_4 = \dot{x}_1$ система приобретает структуру, описываемую классом \mathfrak{B} .

Поскольку орбита периодична, глобальной погрешностью численного приближения считается отклонение от исходного положения.

3.3 Результаты моделирования

На рис. 3.1 и 3.2 приведён график зависимости глобальной погрешности Err от трудоёмкости N_{fevals} (количества обращений к правой части СОДУ).

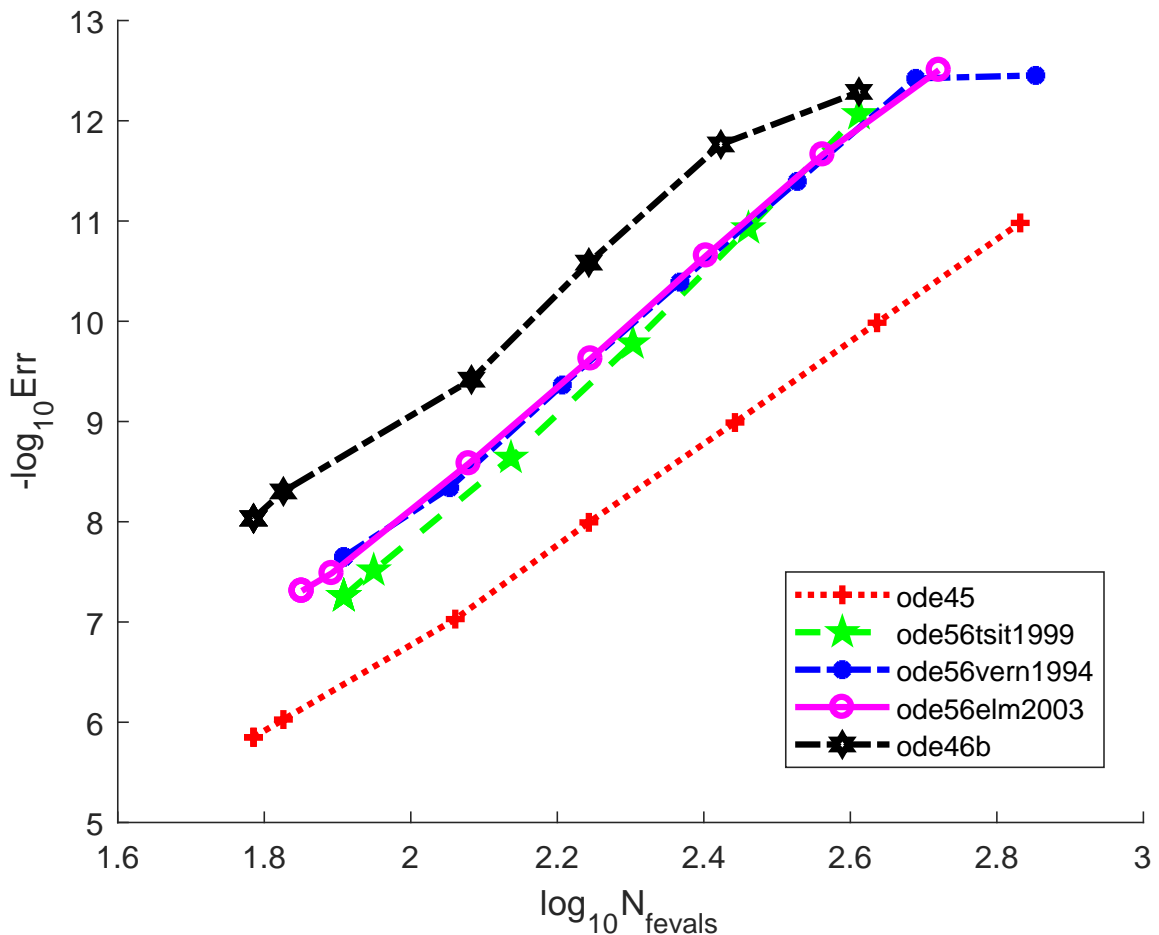


Рисунок 3.1 — Зависимость глобальной погрешности от количества вычислений для модели 1

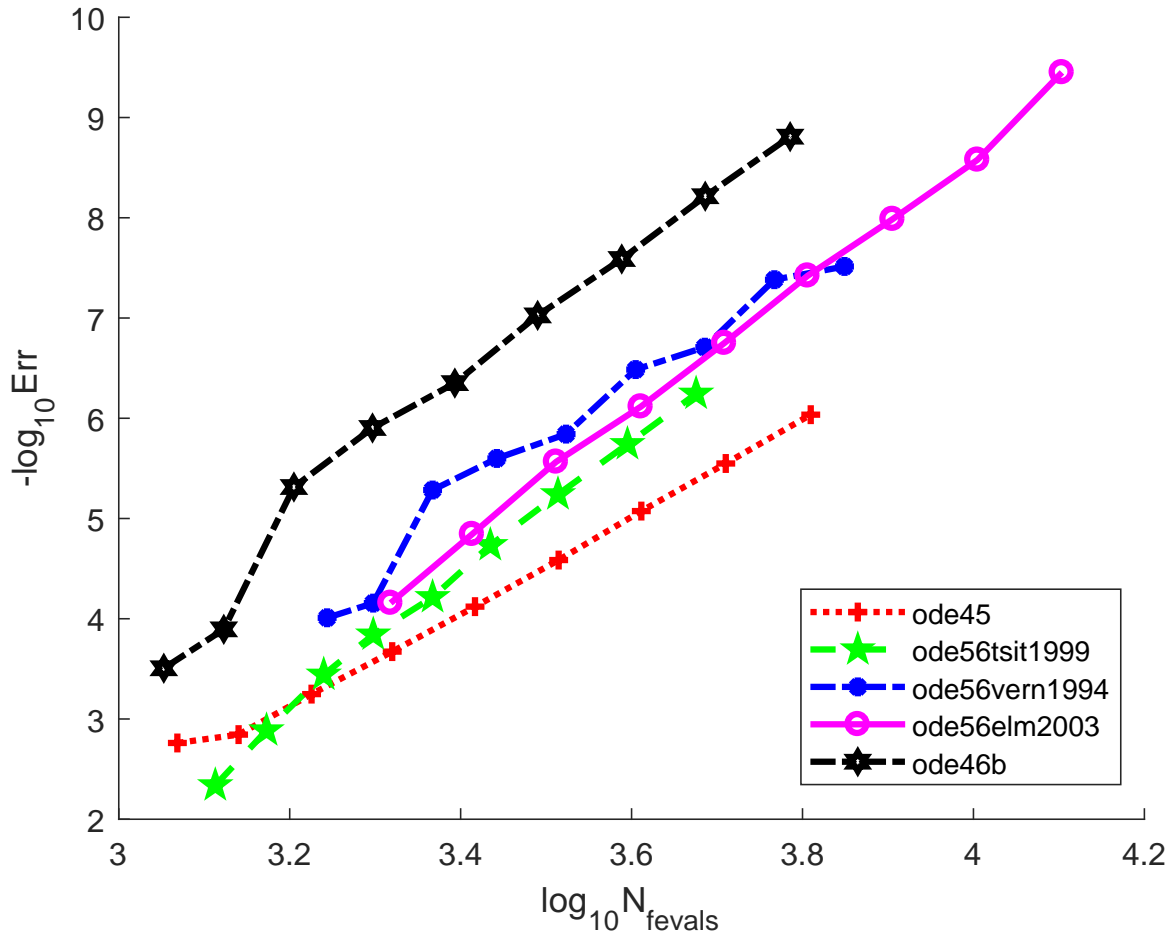


Рисунок 3.2 — Зависимость глобальной погрешности от количества вычислений для модели 2

На рис. 3.3 и 3.4 приведён график изменения длины шага T_{step} во время интегрирования для конкретных значений глобальной погрешности. Поскольку её нельзя выбрать заранее, для каждого метода были подобраны такие значения tol , при которых глобальная погрешность примерно равна 10^{-9} для модели 1 и 10^{-5} для модели 2.

В табл. 5 и 6 приведены значения глобальных погрешностей Err , достигаемых при конкретных количествах шагов интегрирования. Помимо некоторого выигрыша в точности метод *ode46b* требует и меньших вычислительных затрат на каждом шаге по сравнению с методами шестого порядка. В сравнении с *ode45* метод требует таких же вычислительных затрат, однако имеет больший порядок точности и, как следствие, существенно меньшую глобальную погрешность.

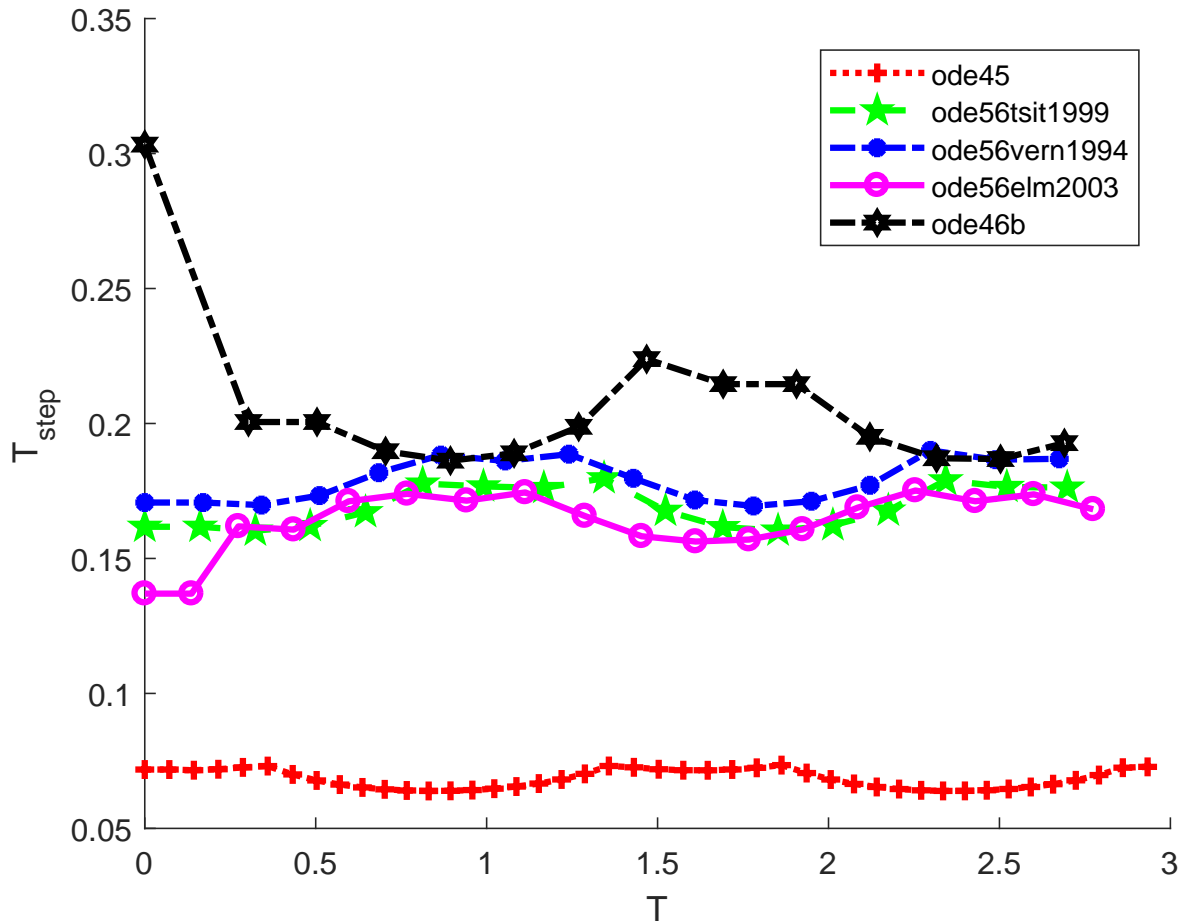


Рисунок 3.3 — Изменение длины шага для модели 1

Таблица 5 — Точность при фиксированном количестве шагов для модели 1

Кол-во шагов	$-\log_{10}(Err)$				
	<i>ode45</i>	<i>ode56tsit1999</i>	<i>ode56vern1994</i>	<i>ode56elm2003</i>	<i>ode46b</i>
20	7,2431	9,3053	9,4704	9,1986	9,7187
30	8,1387	10,4688	10,5491	10,2473	10,7620
40	8,7382	11,3921	11,3264	11,0563	11,6226

Таблица 6 — Точность при фиксированном количестве шагов для модели 2

Кол-во шагов	$-\log_{10}(Err)$				
	<i>ode45</i>	<i>ode56tsit1999</i>	<i>ode56vern1994</i>	<i>ode56elm2003</i>	<i>ode46b</i>
400	4,0095	5,2410	5,8257	5,1803	6,4222
500	4,4443	5,8332	6,5114	5,7427	6,9794
600	4,8206	6,2936	6,6131	6,2454	7,4493

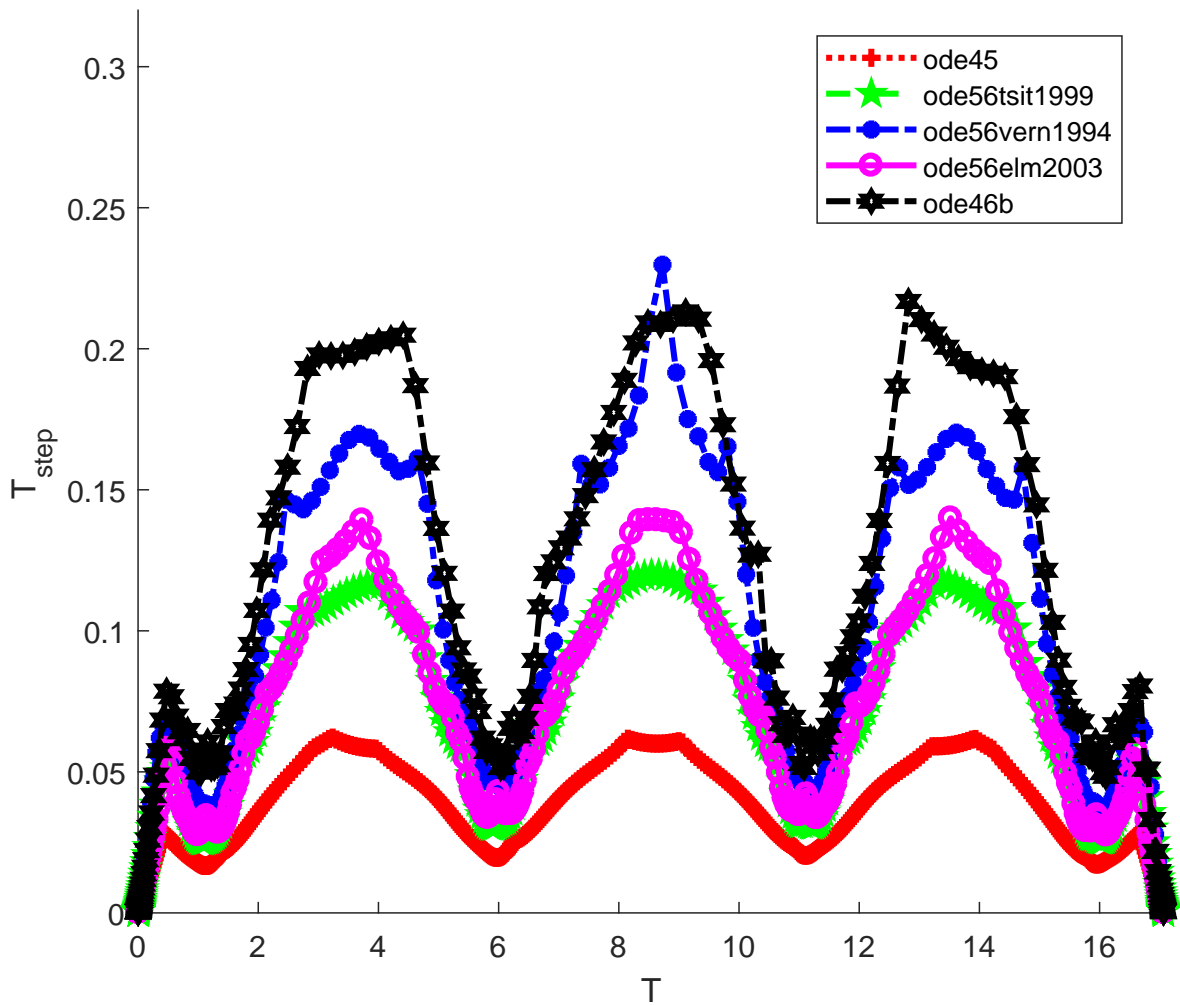


Рисунок 3.4 — Изменение длины шага для модели 2

Выводы

Для того, чтобы метод имел p -й порядок точности, график зависимости логарифма погрешности от логарифма длины шага должен вести себя примерно так же, как прямая линия с углом наклона $\arctg p$. Видно, что на рис. 3.1 и 3.2 наклоны графиков для схем шестого порядка примерно равны. Это значит, что построенная схема действительно имеет шестой порядок.

Выигрыш, достигаемый функцией *ode46b* (табл. 5, табл. 6) при равном количестве шагов, объясняется тем, что свободные параметры $\alpha_1, \dots, \alpha_7$ были выбраны из соображений минимизации членов седьмого порядка в разложении методической погрешности на шаге. Это приводит к тому, что на большинстве шагов главный член локальной погрешности по модулю меньше, чем у методов-конкурентов.

Алгоритмическое же преимущество функции *ode46b* достигается тем, что на каждом шаге совершается лишь шесть вычислений правой части СОДУ, тогда как у методов-конкурентов того же порядка — семь или восемь.

На рис. 3.4 отчётливо видны «быстрые» и «медленные» области (более «медленные» участки соответствуют более «прямым» участкам траектории космического аппарата). Также видно, что метод *ode46b* позволяет совершать более длинные шаги, ускоряя процесс интегрирования.

Заключение

1. В работе в явном виде представлено семипараметрическое семейство шестиэтапных методов шестого порядка класса \mathfrak{B} .
2. При фиксированных значениях параметров представлена расчётная схема численного интегрирования $RKB6(4)\{7F\}$. Найденная схемы экономичны в плане меньшего количества вычислений правой части СОДУ по сравнению с уже существующими методами.
3. На базе расчётной схемы создана функция, аналогичная встроенному интегратору MATLAB *ode45* в части автоматического выбора шага. При том же количестве этапов представленная функция *ode46b* имеет на один порядок точности больше.
4. Проведено численное исследование различных моделей механики с помощью полученных методов численного интегрирования. Продемонстрирована эффективность в сравнении с известными классическими методами, в том числе с *ode45*.

Список литературы

1. *Runge, C.* Graphical Methods: A Course of Lectures Delivered in Columbia University, New York, October, 1909, to January, 1910 / C. Runge. — Columbia University Press, 1912. — (... Graphical Methods).
2. *Butcher, J. C.* On Runge–Kutta Processes of High Order / J. C. Butcher. — 1964. — May.
3. *Butcher, J. C.* On the Attainable Order of Runge–Kutta Methods / J. C. Butcher // Math. Comput. — 1965. — Vol. 19. — P. 408–417.
4. *Butcher, J. C.* The non-existence of ten Stage eight Order Explicit Runge–Kutta Methods / J. C. Butcher // BIT. — 1985. — Vol. 25. — P. 521–540.
5. *Fehlberg, E.* Classical fifth-, sixth-, seventh-, and eighth-order Runge–Kutta formulas with stepsize control / E. Fehlberg // NASA Technical Report 287. — 1968.
6. *Dormand, J. R.* A Family of Embedded Runge–Kutta Formulae / J. R. Dormand, P. J. Prince // Journal of Computational and Applied Mathematics. — 1980. — Mar. — Vol. 6. — P. 19–26.
7. *Олемской, И. В.* Численный метод интегрирования систем обыкновенных дифференциальных уравнений / И. В. Олемской // Математические методы анализа управляемых процессов. — 1986. — С. 157–160.
8. *Hofer, E.* A partially implicit method for large stiff systems of ODEs with only few equations introducing small time-constants / E. Hofer // SIAM J. Numer. Anal. — 1976. — Vol. 13, no. 5. — P. 645–663.
9. *Sandu, A.* Multirate generalized additive Runge-Kutta methods / A. Sandu, M. Günther // Numer. Math. — 2016. — Vol. 133, no. 3. — P. 497–524.
10. *McLachlan, R.* High order multisymplectic Runge-Kutta methods / R. McLachlan, B. Ryland, Y. Sun // SIAM J. Sci. Comput. — 2014. — Vol. 36, no. 5. — A2199–A2226.

11. *Wang, D.* Parametric symplectic partitioned Runge-Kutta methods with energy-preserving properties for Hamiltonian systems / D. Wang, A. Xiao, X. Li // *Comput. Phys. Comm.* — 2013. — Vol. 184, no. 2. — P. 303–310.
12. *Ketcheson, D.* Spatially partitioned embedded Runge-Kutta methods / D. Ketcheson, C. MacDonald, S. Ruuth // *SIAM J. Numer. Anal.* — 2013. — Vol. 51, no. 5. — P. 2887–2910.
13. *Eremin, A. S.* Continuous Extensions for Structural Runge—Kutta Methods / A. S. Eremin, N. A. Kovrizhnykh // *Computational Science and Its Applications – ICCSA 2017.* — Cham : Springer International Publishing, 2017. — P. 363–378. — (Lecture Notes in Computer Science ; 10405).
14. *Шиманчук, Д. В.* Построение траектории возвращения в окрестность коллинеарной точки либрации системы Солнце–Земля / Д. В. Шиманчук, А. С. Шмыров // *Вестн. С.-Петербур. ун-та, Сер. 10.* — 2013. — Т. 2. — С. 76–85.
15. *Clohessy, W. H.* Terminal Guidance System for Satellite Rendezvous / W. H. Clohessy, R. S. Wiltshire // *J. Astronaut. Sci.* — 1960. — Vol. 27, no. 9. — P. 653–678.
16. *Tschauner, J.* Rendezvous Zu Einem In Elliptischer Bahn Umlaufenden Ziel / J. Tschauner, P. Hempel // *Astronautica Acta.* — 1965. — Т. 11, № 2. — С. 104–109.
17. *Schweighart, S. A.* High-Fidelity Linearized J2 Model for Satellite Formation Flight / S. A. Schweighart, R. J. Sedwick // *Journal of Guidance, Control, and Dynamics.* — 2002. — Vol. 25, no. 6. — P. 1073–1080.
18. *Хайпер, Э.* Решение обыкновенных дифференциальных уравнений. Нежёсткие задачи / Пер. с англ. И. А. Кульчицкой, С. С. Филиппова под ред. С. С. Филиппова. / Э. Хайпер, С. Нёрсетт, Г. Ваннер. — М.: Мир, 1990. — 512 с.
19. *Олемской, И. В.* Модификация алгоритма выделения структурных особенностей / И. В. Олемской // *Вестн. С.-Петербур. ун-та, Сер. 10.* — 2006. — Т. 2. — С. 46–54.
20. *Олемской, И. В.* Структурный подход в задаче конструирования явных одношаговых методов / И. В. Олемской // *Журнал вычислительной математики и математической физики.* — 2003. — Т. 43, № 7. — С. 961–974.

21. *Еремин, А. С.* Разработка явного одношагового вложенного метода для систем структурно разделенных обыкновенных дифференциальных уравнений : дис. ... кандидата физико-математических наук: 01.01.07 / А. С. Еремин. — С.-Петербург. гос. ун-т, Санкт-Петербург, 2009. — 91 с.
22. *Kovrizhnykh, N. A.* On a Two Families of Efficient Fifth Order Schemes for Solving ODE Systems / N. A. Kovrizhnykh, A. S. Eremin // AIP Conference Proceedings. — 2018. — Vol. 1959, no. 1. — P. 030014.
23. *Олемской, И. В.* Методы интегрирования систем структурно разделенных дифференциальных уравнений / И. В. Олемской. — СПб.: Изд-во С.-Петербург. ун-та, 2009. — 180 с.
24. *Tsitouras, C.* Cheap Error Estimation for Runge–Kutta methods / C. Tsitouras, S. N. Papakostas // Siam Journal on Scientific Computing. — 1999. — Vol. 20, issue 6. — P. 2067–2088.
25. *Verner, J.* Strategies for Deriving New Explicit Runge–Kutta Pairs / J. Verner // Annals of Numerical Mathematics. — 1994. — Vol. 1. — P. 225–244.
26. *El-Mikkawy, M. E. A.* A General Four-Parameter Non-FSAL Embedded Runge–Kutta Algorithm of Orders 6 and 4 in Seven Stages / M. E. A. El-Mikkawy, M. M. M. Eisa // Applied Mathematics and Computation. — 2003. — Vol. 143, no. 2. — P. 259–267.
27. Choose an ODE Solver [Электронный ресурс]. — URL: <https://www.mathworks.com/help/matlab/math/choose-an-ode-solver.html> (дата обр. 19.01.2018).
28. Сравнительное исследование преимуществ структурных методов численного решения обыкновенных дифференциальных уравнений / В. Бубнов [и др.] // Труды СПИИРАН. — 2017. — Т. 53, № 4. — С. 51–72.

Список рисунков

1.1	Структуры допустимых зависимостей в СОДУ	11
3.1	Зависимость глобальной погрешности от количества вычислений для модели 1	24
3.2	Зависимость глобальной погрешности от количества вычислений для модели 2	25
3.3	Изменение длины шага для модели 1	26
3.4	Изменение длины шага для модели 2	27

Список таблиц

1	Коэффициенты явного метода класса \mathcal{C} при $m = m_0 = m_1 + 1$	15
2	Размеры системы условий порядка	16
3	Примеры построения условий порядка	17
4	Коэффициенты метода $RKB6(4)\{7F\}$	21
5	Точность при фиксированном количестве шагов для модели 1	26
6	Точность при фиксированном количестве шагов для модели 2	26

Приложение А

Семейство методов шестого порядка класса \mathfrak{B}

Параметры метода $c_{12} = \alpha_1$, $c_{13} = \alpha_2$, $c_{14} = \alpha_3$, $c_{23} = \alpha_4$, $c_{24} = \alpha_5$, $a_{1132} = \alpha_6$ и $a_{2243} = \alpha_7$ могут быть выбраны в качестве свободных параметров, подчиненных лишь некоторым очевидным ограничениям. В силу громоздкого вида общего решения ограничимся последовательным выражением параметров метода друг через друга.

$$c_{16} = c_{26} = 1$$

$$a_{1166} = a_{2166} = a_{2266} = 0$$

$$c_{22} = \frac{3c_{13} - 2c_{23}}{15c_{13}c_{23} - 10c_{23} + 2}$$

Введём вспомогательные переменные $\xi_\mu \equiv \sum_{\nu=\mu+1}^6 b_{1\nu}c_{1\nu}a_{12\nu\mu}$, ($\mu = 2,3,4$).

$$\begin{aligned} \xi_2 &= \sum_{\nu=3}^6 b_{1\nu}c_{1\nu}a_{12\nu 2} = \frac{5 + 15c_{24}c_{23} - 8c_{23} - 8c_{24}}{120c_{22}(c_{24} - c_{22})(c_{23} - c_{22})} + \\ &+ \frac{(c_{25}^4 + c_{23}c_{25}^2 + c_{24}c_{25}^2 - c_{24}c_{25}^3 - c_{23}c_{24}c_{25} + c_{23}c_{24}c_{25}^2 - c_{23}c_{25}^3 - c_{25}^3)}{c_{22}(c_{24} - c_{22})(c_{23} - c_{22})} b_{25} \end{aligned}$$

$$\begin{aligned} \xi_3 &= \sum_{\nu=4}^6 b_{1\nu}c_{1\nu}a_{12\nu 3} = -\frac{5 + 15c_{24}c_{22} - 8c_{24} - 8c_{22}}{120(c_{23} - c_{22})c_{23}(c_{24} - c_{23})} - \\ &- \frac{c_{24}c_{25}^2c_{22} + c_{24}c_{25}^2 - c_{24}c_{25}^3 + c_{25}^4 - c_{25}^3 - c_{24}c_{25}c_{22} + c_{25}^2c_{22} - c_{25}^3c_{22}}{(c_{23} - c_{22})c_{23}(c_{24} - c_{23})} b_{25} - \end{aligned}$$

$$\begin{aligned} \xi_4 &= \sum_{\nu=5}^6 b_{1\nu}c_{1\nu}a_{12\nu 4} = \frac{5 + 15c_{23}c_{22} - 8c_{23} - 8c_{22}}{120(c_{24} - c_{23})(c_{24} - c_{22})c_{24}} + \\ &+ \frac{c_{25}^2c_{23}c_{22} + c_{23}c_{25}^2 - c_{23}c_{25}^3 + c_{25}^4 - c_{25}^3 - c_{25}c_{23}c_{22} + c_{25}^2c_{22} - c_{25}^3c_{22}}{(c_{24} - c_{23})(c_{24} - c_{22})c_{24}} b_{25} \end{aligned}$$

Для $q = 1,2$:

$$c_{q5} = \frac{5c_{q4}c_{q3} - 3c_{q4} - 3c_{q3} + 2}{10c_{q4}c_{q3} - 5c_{q4} - 5c_{q3} + 3}$$

$$b_{q1} = \frac{50c_{q4}^2c_{q3}^2 - 40c_{q4}^2c_{q3} + 5c_{q4}^2 - 40c_{q4}c_{q3}^2 + 35c_{q4}c_{q3} - 5c_{q4} + 5c_{q3}^2 - 5c_{q3} + 1}{60c_{q4}c_{q3}(5c_{q4}c_{q3} - 3c_{q4} - 3c_{q3} + 2)}$$

$$\begin{aligned}
b_{q3} &= \frac{5c_{q4}^2 - 5c_{q4} + 1}{60c_{q3}(1 - c_{q3})(c_{q4} - c_{q3})(3c_{q4} + 6c_{q3} - 2 - 10c_{q4}c_{q3} + 10c_{q4}c_{q3}^2 - 5c_{q3}^2)} \\
b_{q4} &= \frac{5c_{q3}^2 - 5c_{q3} + 1}{60c_{q4}(c_{q4} - 1)(c_{q4} - c_{q3})(6c_{q4} + 3c_{q3} - 2 - 10c_{q4}c_{q3} + 10c_{q4}^2c_{q3} - 5c_{q4}^2)} \\
b_{q5} &= \frac{1}{60(5c_{q4}c_{q3} - 3c_{q4} - 3c_{q3} + 2)(3c_{q4} + 6c_{q3} - 2 - 10c_{q4}c_{q3} + 10c_{q4}c_{q3}^2 - 5c_{q3}^2)} \times \\
&\quad \times \frac{(10c_{q4}c_{q3} - 5c_{q4} - 5c_{q3} + 3)^5}{(5c_{q4}c_{q3} - 2c_{q4} - 2c_{q3} + 1)(6c_{q4} + 3c_{q3} - 2 - 10c_{q4}c_{q3} + 10c_{q4}^2c_{q3} - 5c_{q4}^2)} \\
b_{q6} &= \frac{50c_{q4}^2c_{q3}^2 - 60c_{q4}^2c_{q3} + 15c_{q4}^2 + 75c_{q4}c_{q3} - 20c_{q4} - 60c_{q4}c_{q3}^2 + 15c_{q3}^2 - 20c_{q3} + 6}{60(5c_{q4}c_{q3} - 2c_{q4} - 2c_{q3} + 1)(1 - c_{q4})(1 - c_{q3})} \\
a_{1243} &= \frac{c_{14}}{6c_{23}(5c_{13}^2 - 5c_{13} + 1) \left\{ (15c_{13} - 10)c_{23}^2 + 4c_{23} - 3c_{13} \right\} (c_{13} - c_{14})} \left\{ (20c_{13} - \right. \\
&\quad \left. - 30c_{13}^2 + 150c_{14}c_{13}^2 - 100c_{14}c_{13} - 6 + 20c_{14})c_{23} - 45c_{14}c_{13}^2 + 5c_{13} + 20c_{14}c_{13} - 4c_{14} \right\} \\
a_{2132} &= \frac{c_{23}(3c_{13} - 2c_{23})(15c_{13}c_{23} - 10c_{23} + 2)}{2c_{12}(45c_{13}^2 - 30c_{13} + 4)} \\
a_{2144} &= \frac{c_{24}(15c_{13}c_{24}c_{23} + 2c_{23} - 10c_{24}c_{23} - 3c_{13} + 2c_{24})(c_{23} - c_{24})}{6c_{14}(c_{13} - c_{14})(5c_{23}^2 - 5c_{23} + 1)} \\
a_{2233} &= \frac{15c_{13}^2c_{23} - 10c_{13}c_{23} + 2c_{23} - c_{13}}{45c_{13}^2 - 30c_{13} + 4} \\
a_{2244} &= \left\{ (600c_{23}^3 - 270c_{13}^2 - 2025c_{23}c_{13}^3 - 6750c_{23}^3c_{13}^3 - 3900c_{23}^3c_{13} \right. \\
&\quad - 520c_{23}^2 - 9000c_{13}^2c_{23}^2 - 1200c_{13}c_{23} + 9000c_{23}^3c_{13}^2 + 6750c_{23}^2c_{13}^3 + 120c_{13} \\
&\quad + 160c_{23} + 3600c_{23}^2c_{13} + 3150c_{13}^2c_{23} - 16)c_{24}^3 + \\
&\quad + (630c_{13}^2c_{23} - 180c_{13}^2 - 120c_{13}c_{23} - 900c_{13}^2c_{23}^2 + 2025c_{23}^2c_{13}^3 - 120c_{23}^2c_{13} + \\
&\quad + 405c_{13}^3 - 1350c_{23}c_{13}^3 - 320c_{23}^3 - 1350c_{23}^3c_{13}^2 + 36c_{13} - \\
&\quad - 24c_{23} + 160c_{23}^2 + 1200c_{23}^3c_{13})c_{24}^2 + \\
&\quad + (90c_{13}^2c_{23} - 135c_{23}c_{13}^3 - 60c_{23}^3c_{13} + 24c_{13}c_{23} + 180c_{13}^2c_{23}^2 - 120c_{23}^2c_{13} + 40c_{23}^3 \\
&\quad - 18c_{13}^2 - 8c_{23}^2)c_{24} + (5400c_{23}^3c_{13} - 720c_{23}^3 + 96c_{23}^2 + 4050c_{23}^2c_{13}^3 - 1620c_{13}^2c_{23}^2 \\
&\quad + 1680c_{23}^4 - 27000c_{23}^5c_{13}^2 - 1200c_{23}^5 - 360c_{23}^2c_{13} - 72c_{13}c_{23} - 810c_{23}c_{13}^3 \\
&\quad + 540c_{13}^2c_{23} - 20250c_{23}^4c_{13}^3 + 20250c_{23}^5c_{13}^3 - 8100c_{23}^3c_{13}^2 - 14400c_{23}^4c_{13} \\
&\quad \left. + 32400c_{23}^4c_{13}^2 + 10800c_{23}^5c_{13})a_{2243} \right\} \times \\
&\quad \times \frac{-1}{6c_{24}((15c_{13}c_{23} + 2 - 10c_{23})c_{24} + 2c_{23} - 3c_{13})(5c_{23}^2 + 5c_{23} + 1)(45c_{13}^2 - 30c_{13} + 4)} \\
a_{1121} &= a_{1122} = \frac{1}{2}c_{12}
\end{aligned}$$

$$a_{1155} = \frac{1}{2}(1 - c_{15})$$

$$a_{1165} = \frac{1}{2} \frac{b_{15}}{b_{16}} (1 - c_{15})$$

$$a_{1131} = \frac{1}{2} c_{13} - a_{1132} \frac{c_{13} - c_{12}}{c_{13}}$$

$$a_{1133} = \frac{1}{2} c_{13} - a_{1132} \frac{c_{12}}{c_{13}}$$

$$a_{1142} = \frac{b_{13}}{b_{14}} \cdot \frac{(c_{15} - c_{13})(1 - c_{13})}{(c_{15} - c_{14})(c_{14} - 1)} a_{1132}$$

$$a_{1152} = -\frac{b_{13}}{b_{15}} \cdot \frac{(c_{14} - c_{13})(1 - c_{13})}{(c_{15} - c_{14})(c_{15} - 1)} a_{1132}$$

$$a_{1162} = \frac{b_{13}}{b_{16}} \cdot \frac{(c_{14} - c_{13})(c_{13} - c_{15})}{(1 - c_{14})(1 - c_{15})} a_{1132}$$

$$a_{1141} = \frac{30c_{13}c_{14}^2 + 30c_{14}^3c_{12} - 30c_{14}^3c_{13} - 30c_{14}^2c_{12} - 6c_{14}c_{13} + 6c_{12}c_{14}}{6(5c_{13}^2 - 5c_{13} + 1)c_{13}^2} a_{1132} +$$

$$+ \frac{c_{13}^3 - c_{13}c_{14}^2 - 20c_{13}^3c_{14} + 5c_{14}^2c_{13}^2 + 15c_{13}^4c_{14} + 3c_{14}c_{13}^2}{6(5c_{13}^2 - 5c_{13} + 1)c_{13}^2}$$

$$a_{1144} = \frac{2c_{14} - 10c_{14}c_{13} - c_{13} + 15c_{13}^2c_{14}}{6(5c_{13}^2 - 5c_{13} + 1)}$$

$$a_{1154} = \frac{b_{14}(c_{14} - 1)(2a_{1144} + c_{14} - 1)}{2b_{15}(1 - c_{15})}$$

$$a_{1164} = \frac{b_{14}(2a_{1144}(c_{14} - c_{15}) + (2c_{15} - c_{14} - 1)(1 - c_{14}))}{2b_{16}(c_{15} - 1)}$$

$$a_{1153} = \frac{c_{15}^2}{2c_{13}} - \frac{(a_{1152}c_{12} + a_{1154}c_{14} + a_{1155}c_{15})}{c_{13}}$$

$$a_{1163} = \frac{1}{2c_{13}} - \frac{a_{1162}c_{12} + a_{1164}c_{14} + a_{1165}c_{15}}{c_{13}}$$

$$a_{11w1} = c_{1w} - \sum_{v=2}^w a_{11wv}, \quad w = 5, 6$$

$$a_{1265} = \frac{b_{25}(1 - c_{25})}{b_{16}}$$

$$a_{1231} = \frac{c_{13}(2c_{22} - c_{13})}{2c_{22}}$$

$$a_{1232} = \frac{c_{13}^2}{2c_{22}}$$

$$a_{1254} = \frac{\xi_4 - b_{24}(1 - c_{24})}{b_{15}(c_{15} - 1)}$$

$$\begin{aligned}
a_{1264} &= \frac{b_{24}c_{15}(1 - c_{24}) - \xi_4}{b_{15}(c_{15} - 1)} \\
a_{1253} &= \frac{(1 - c_{14})a_{1243}b_{14} + \xi_3 + (c_{23} - 1)b_{23}}{b_{15}(c_{15} - 1)} \\
a_{1263} &= \frac{(c_{15} - c_{14})a_{1243}b_{14} + c_{15}(c_{23} - 1)b_{23} + \xi_3}{b_{16}(1 - c_{15})} \\
a_{1252} &= \frac{(c_{14} - 1)b_{14}c_{23}a_{1243}}{b_{15}c_{22}(c_{15} - 1)} + \frac{\xi_2}{b_{15}(c_{15} - 1)} + \frac{(1 - c_{13})c_{13}^2b_{13} + (1 - c_{14})c_{14}^2b_{14}}{2b_{15}c_{22}(c_{15} - 1)} \\
a_{1262} &= \frac{(c_{15} - c_{14})b_{14}c_{23}a_{1243}}{b_{16}c_{22}(c_{15} - 1)} - \frac{\xi_2}{b_{16}(c_{15} - 1)} - \frac{(c_{15} - c_{13})c_{13}^2b_{13} + (c_{15} - c_{14})c_{14}^2b_{14}}{2b_{16}c_{22}(c_{15} - 1)} \\
a_{1241} &= \frac{(c_{23} - c_{22})a_{1243}}{c_{22}} - \frac{c_{14}^2}{2c_{22}} + c_{14} \\
a_{1242} &= -\frac{c_{23}a_{1243}}{c_{22}} + \frac{c_{14}^2}{2c_{22}} \\
a_{12w1} &= c_{1w} - \sum_{v=2}^{w-1} a_{12wv}, \quad w = 5, 6 \\
a_{2121} &= \frac{c_{22}(2c_{12} - c_{22})}{c_{12}} \\
a_{2122} &= \frac{c_{22}^2}{c_{12}} \\
a_{2131} &= \frac{(c_{12} - c_{13})}{c_{13}}a_{2132} + \frac{c_{23}(2c_{13} - c_{23})}{2c_{13}} \\
a_{2133} &= \frac{c_{23}^2}{2c_{13}} - \frac{c_{12}}{c_{13}}a_{2132} \\
a_{2155} &= \frac{b_{15}(1 - c_{15})^2}{2b_{25}(1 - c_{25})} \\
a_{2165} &= \frac{b_{15}(1 - c_{15})(1 + c_{15} - 2c_{25})}{2b_{26}(1 - c_{25})} \\
a_{2142} &= -\frac{b_{23}a_{2132}(c_{23} - 1)(c_{25} - c_{23})}{b_{24}(c_{24} - 1)(c_{25} - c_{24})} \\
a_{2152} &= \frac{b_{23}a_{2132}(c_{23} - 1)(c_{24} - c_{23})}{b_{25}(c_{25} - 1)(c_{25} - c_{24})} \\
a_{2162} &= -\frac{b_{23}a_{2132}(c_{25} - c_{23})(c_{24} - c_{23})}{b_{26}(1 - c_{25})(1 - c_{24})} \\
a_{2154} &= \frac{1}{b_{25}(c_{25} - 1)} \left\{ (1 - c_{24})a_{2144}b_{24} - \frac{(1 - c_{14})^2}{2}b_{14} \right\} \\
a_{2164} &= \frac{1}{b_{26}(1 - c_{25})} \left\{ (c_{25} - c_{24})a_{2144}b_{24} + \frac{(1 - c_{14})(1 + c_{14} - 2c_{25})}{2}b_{14} \right\}
\end{aligned}$$

$$a_{2143} = \frac{c_{24}^2}{2c_{13}} - \frac{c_{12}}{c_{13}}a_{2142} - \frac{c_{14}}{c_{13}}a_{2144}$$

$$a_{21w3} = \frac{1}{c_{13}} \left\{ \frac{c_{2w}^2}{2} - \sum_{\nu=2\nu \neq 3}^5 a_{21w\nu}c_{1\nu} \right\}, \quad w = 5,6$$

$$a_{21w1} = c_{2w} - \sum_{\nu=2}^w a_{21w\nu}, \quad w = 4,5,6$$

$$a_{2221} = a_{2222} = \frac{c_{22}}{2}$$

$$a_{2253} = \frac{b_{23}(c_{23} - 1)(2a_{2233} + c_{23} - 1)}{2b_{25}(1 - c_{25})} + \frac{b_{24}(c_{24} - 1)a_{2243}}{b_{25}(1 - c_{25})}$$

$$a_{2263} = \frac{b_{24}(c_{25} - c_{24})}{b_{26}(1 - c_{25})}a_{2243} + \frac{b_{23}(c_{25} - c_{23})}{b_{26}(1 - c_{25})}a_{2233} + \frac{b_{23}(1 - c_{23})(1 + c_{23} - 2c_{25})}{2b_{26}(1 - c_{25})}$$

$$a_{2254} = \frac{b_{24}(c_{24} - 1)}{2b_{25}(1 - c_{25})} \left\{ 2a_{2244} + c_{24} - 1 \right\}$$

$$a_{2264} = \frac{b_{24}}{2b_{25}(1 - c_{25})} \left\{ 2(c_{25} - c_{24})a_{2244} + (1 - c_{24})(1 + c_{24} - 2c_{25}) \right\}$$

$$a_{2255} = \frac{1}{2}(1 - c_{25})$$

$$a_{2265} = \frac{b_{25}}{2b_{26}}(1 - c_{25})$$

$$a_{22\mu 1} = c_{2\mu} - \frac{1}{c_{22}} \left\{ \frac{c_{2\mu}^2}{2} + \sum_{\nu=3}^{\mu} (c_{22} - c_{2\nu})a_{22\mu\nu} \right\}, \quad \mu = 3,4,5,6$$

$$a_{22\mu 2} = \frac{1}{c_{22}} \left\{ \frac{c_{2\mu}^2}{2} - \sum_{\nu=3}^{\mu} c_{2\nu}a_{22\mu\nu} \right\}, \quad \mu = 3,4,5,6$$

Приложение Б

Текст программы ode46b

Листинг Б.1 Функция численного интегрирования систем класса \mathfrak{B}

```

function varargout = ode46b(ode,tspan,y0,options,varargin)

solver_name = 'ode45';

5 % Stats
nsteps = 0;
nfailed = 0;
nfevals = 0;

10 % Output
FcnHandlesUsed = isa(ode,'function_handle');
output_sol = (FcnHandlesUsed && (nargout==1));

sol = []; f3d = [];
15 if output_sol
    sol.solver = solver_name;
    sol.extdata.odefun = ode;
    sol.extdata.options = options;
    sol.extdata.varargin = varargin;
20 end

% Handle solver arguments
for i=1:4
    [neq, tspan, ntspan, next, t0, tfinal, tdir, y0, f0, odeArgs
    , odeFcn, ...
25     options, threshold, rtol, normcontrol, normy, hmax, htry
    , htspan, dataType] = ...
    odearguments(FcnHandlesUsed, solver_name, ode, tspan, y0
    , options, varargin);
end
nfevals = nfevals + 1;

30 % Handle the output
if nargout > 0
    outputFcn = odeget(options,'OutputFcn',[],'fast');
else

```



```

    outputFcn = odeget(options, 'OutputFcn', @odeplot, 'fast');
35 end
    outputArgs = {};
    if isempty(outputFcn)
        haveOutputFcn = false;
    else
40     haveOutputFcn = true;
        outputs = odeget(options1, 'OutputSel', 1:neq, 'fast');
        if isa(outputFcn, 'function_handle')
            % With MATLAB 6 syntax pass additional input arguments
            to outputFcn.
            outputArgs = varargin;
45     end
    end
    refine = max(1, odeget(options, 'Refine', 4, 'fast'));

% Handle the event function
50 [haveEventFcn, eventFcn, eventArgs, valt, teout, yeout, ieout] = ...
    odeevents(FcnHandlesUsed, odeFcn, t0, y0, options, varargin);

    t = t0;
    y = y0;
55 % Allocate memory if we're generating output.
    nout = 0;
    tout = []; yout = [];
    if nargout > 0
60     chunk = min(max(100, 50*refine), refine+floor((2^11)/neq));
        tout = zeros(1, chunk, dataType);
        yout = zeros(neq, chunk, dataType);
        f3d = zeros(neq, 7, chunk, dataType);

65     nout = 1;
        tout(nout) = t;
        yout(:, nout) = y;
    end

70 % Initialize method parameters.
    pow = 1/5;
    [B11 B12 B21 B22 A1 A2 E1 E2] = coeff;

    f(neq, 7) = zeros(1, 1, dataType);
75

```

```

hmin = 16*eps(t);

% Compute an initial step size h using y'(t).
absh = min(hmax, htspan);
80
rh = norm(f0 ./ max(abs(y),threshold),inf) / (0.8 * rtol^pow);
if absh * rh > 1
    absh = 1 / rh;
end
85 absh = max(absh, hmin);

f(:,1) = f0;

structure = feval(odeFcn, 's');
90 ny1 = structure('1');
ny2 = structure('2')+ny1;

% Initialize the output function.
if haveOutputFcn
95     feval(outputFcn,[t tfinal],y(outputs),'init',outputArgs{:});
end

% THE MAIN LOOP

100 done = false;
while ~done

    % By default, hmin is a small number such that t+hmin is
    % only slightly
    % different than t. It might be 0 if t is 0.
105 hmin = 16*eps(t);
absh = min(hmax, max(hmin, absh)); % couldn't limit absh
    % until new hmin
h = tdir * absh;

% Stretch the step if within 10% of tfinal-t.
110 if 1.1*absh >= abs(tfinal - t)
    h = tfinal - t;
    absh = abs(h);
    done = true;
end

115
% LOOP FOR ADVANCING ONE STEP.

```

```

nofailed = true;                                     % no failed attempts
while true
    hA1 = h * A1;
    hA2 = h * A2;
120    hB11 = h * B11;
    hB12 = h * B12;
    hB21 = h * B21;
    hB22 = h * B22;
125    for i=2:6
        for j=1:ny1
            yt = [
                y( 1:ny1)+f( 1:ny1, :)*hB11(:,i-1)
                y(ny1+1:ny2)+f(ny1+1:ny2, :)*hB12(:,i-1)
130            ];
            f(j,i) = feval(odeFcn, t+hA1(i-1), yt, j,
                odeArgs{:});
        end

        for j=ny1+1:ny2
135            yt = [
                y( 1:ny1)+f( 1:ny1, :)*hB21(:,i-1)
                y(ny1+1:ny2)+f(ny1+1:ny2, :)*hB22(:,i-1)
            ];
            f(j,i) = feval(odeFcn, t+hA2(i-1), yt, j,
                odeArgs{:});
140        end
    end

    tnew = t + hA1(6);
    if done
145        tnew = tfinal;    % Hit end point exactly.
    end

    ynew = y + [
        f( 1:ny1, :)*hB11(:,6)
150        f(ny1+1:ny2, :)*hB22(:,6)
    ];
    f(:,7) = feval(odeFcn, tnew, ynew, odeArgs{:});

    nfevals = nfevals + 6;
155
    % Estimate the error.
    NNrejectStep = false;

```

```

160     err = absh * norm([f(1:ny1,:)*E1; f(ny1+1:ny2,:)*E2])
        ...
        ./ max(max(abs(y),abs(ynew)),threshold),inf);

% Accept the solution only if the weighted error is no
% more than the
% tolerance rtol. Estimate an h that will yield an
% error of rtol on
165 % the next step or the next try at taking this step, as
    the case may be,
% and use 0.8 of this value to avoid failures.
if err > rtol                                % Failed step
    nfailed = nfailed + 1;
    if absh <= hmin
170         warning(message('MATLAB:ode45:
            IntegrationTolNotMet', sprintf( '%e', t ),
            sprintf( '%e', hmin )));
        solver_output = odefinalize(solver_name, sol,...
            outputFcn, outputArgs,...
            0, [nsteps, nfailed, nfevals],...
            nout, tout, yout,...
175         haveEventFcn, teout, yeout, ieout,...
            {f3,idxNonNegative});
        if nargout > 0
            varargout = solver_output;
        end
    end
180     return;
end

if nfailed
    nfailed = false;
185     if NNrejectStep
        absh = max(hmin, 0.5*absh);
    else
        absh = max(hmin, absh * max(0.1, 0.8*(rtol/
            err)^pow));
    end
190 else
    absh = max(hmin, 0.5 * absh);
end
h = tdir * absh;

```

```

done = false;
195
else                                     % Successful step

    NNreset_f7 = false;

200
    break;

end
end
nsteps = nsteps + 1;
205
if output_sol
    nout = nout + 1;
    if nout > length(tout)
        tout = [tout, zeros(1,chunk,dataType)]; % requires
            chunk >= refine
210
        yout = [yout, zeros(neq,chunk,dataType)];
        f3d = cat(3,f3d,zeros(neq,7,chunk,dataType));
    end
    tout(nout) = tnew;
    yout(:,nout) = ynew;
215
    f3d(:, :, nout) = f;
end

if done
    break
220
end

% If there were no failures compute a new h.
if nofailed
    % Note that absh may shrink by 0.8, and that err may be
    0.
225
    temp = 1.25*(err/rtol)^pow;
    if temp > 0.2
        absh = absh / temp;
    else
        absh = 5.0*absh;
230
    end
end

end

% Advance the integration one step.
t = tnew;

```

```

235     y = ynew;

        if NNreset_f7
            % Used f7 for unperturbed solution to interpolate.
            % Now reset f7 to move along constraint.
240         f(:,7) = feval(odeFcn,tnew,ynew,odeArgs{:});
            nfevals = nfevals + 1;
        end
        f(:,1) = f(:,7); % Already have f(tnew,ynew)

245 end

solver_output = odefinalize(solver_name, sol,...
    outputFcn, outputArgs,...
    0, [nsteps, nfailed, nfevals],...
250     nout, tout, yout,...
    haveEventFcn, teout, yeout, ieout,...
    {f3d,false});

255 if nargout > 0
    varargout = solver_output;
end

end

260 function [B11, B12, B21, B22, A1, A2, E1, E2] = coeff
B11 = [
    [ 1/9, 1/9, 0, 0, 0, 0, 0]
    [ 1/12, 0, 1/12, 0, 0, 0, 0]
265 [ -1/44, 0, 9/22, 5/44, 0, 0, 0]
    [ 7/36, 0, 0, 5/9, 1/12, 0, 0]
    [ -3/7, 0, 9/8, -5/28, 27/56, 0, 0]
    [ 7/150, 0, 27/100, 11/30, 27/100, 7/150, 0]
    ]';
270 B12 = [
    [ 2/9, 0, 0, 0, 0, 0, 0]
    [ 5/48, 1/16, 0, 0, 0, 0, 0]
    [ 37/176, 243/176, -12/11, 0, 0, 0, 0]
    [ -635/432, -167/16, 100/9, 44/27, 0, 0, 0]
275 [ 29/4, 1377/28, -1425/28, -11/2, 27/28, 0, 0]
    [ 7/150, 0, 27/100, 11/30, 27/100, 7/150, 0]
    ]';

```

```

A1 = sum(B11);
280 B21 = [
      [ 1/9, 1/9, 0, 0, 0, 0, 0]
      [ 7/48, 3/16, -1/6, 0, 0, 0, 0]
      [ -31/176, -81/176, 45/44, 5/44, 0, 0, 0]
      [ 73/144, 15/16, -5/4, 5/9, 1/12, 0, 0]
285 [ -39/28, -81/28, 279/56, -5/28, 27/56, 0, 0]
      [ 7/150, 0, 27/100, 11/30, 27/100, 7/150, 0]
      ]';
B22 = [
      [ 1/9, 1/9, 0, 0, 0, 0, 0]
290 [ 7/48, 3/16, -1/6, 0, 0, 0, 0]
      [ -185/1584, -123/880, 2/3, 89/990, 0, 0, 0]
      [ 1031/3888, -53/144, 65/324, 317/486, 1/12, 0, 0]
      [ -29/63, 15/7, -103/168, -139/252, 27/56, 0, 0]
      [ 7/150, 0, 27/100, 11/30, 27/100, 7/150, 0]
295 ]';
A2 = sum(B22);

E1 = [11/25, 0, -99/100, 11/10, -99/100, -14/25, 1]'/24;
E2 = E1;
300 end

```